

## บทที่ 4

### สมบัติทางไฟฟ้าของสารกึ่งตัวนำ

ความหนาแน่นของพาหะอิสระที่สภาวะสมดุลเชิงความร้อน [ 15,16,17 ]

สมบัติการนำไฟฟ้าของสารกึ่งตัวนำจะอธิบายได้โดยใช้ทฤษฎีแถบพลังงาน ในสารกึ่งตัวนำจะประกอบด้วย แถบพลังงานวาเลนซ์ แถบพลังงานต้องห้าม แถบการนำ การนำไฟฟ้าในสารกึ่งตัวนำนั้นพาหะที่จะเป็นตัวนำไฟฟ้าจะมีทั้งอิเล็กตรอนและโฮล ซึ่งจะเคลื่อนที่สวนทางกัน การนำไฟฟ้าจะเกิดขึ้นได้เมื่ออิเล็กตรอนจากแถบวาเลนซ์ได้รับพลังงานแล้ว กระโดดขึ้นไปในแถบการนำไฟฟ้า แล้วจะเกิดโฮลเกิดขึ้นในแถบวาเลนซ์เมื่อพิจารณาในสภาวะสมดุลเชิงความร้อนการนำไฟฟ้าของสารกึ่งตัวนำจะขึ้นกับความหนาแน่น และความคล่องตัวของอิเล็กตรอนในแถบการนำและโฮลในแถบวาเลนซ์ ดังนั้นความหนาแน่นของอิเล็กตรอน  $n$  ที่มีพลังงานอยู่ระหว่าง  $E$  กับ  $E + dE$  มีค่าเป็น

$$n(E)dE = N_e(E)f_e(E)dE \quad (4.1)$$

และความหนาแน่นของโฮล  $p$  ที่มีพลังงานอยู่ระหว่าง  $E$  กับ  $E + dE$  คือ

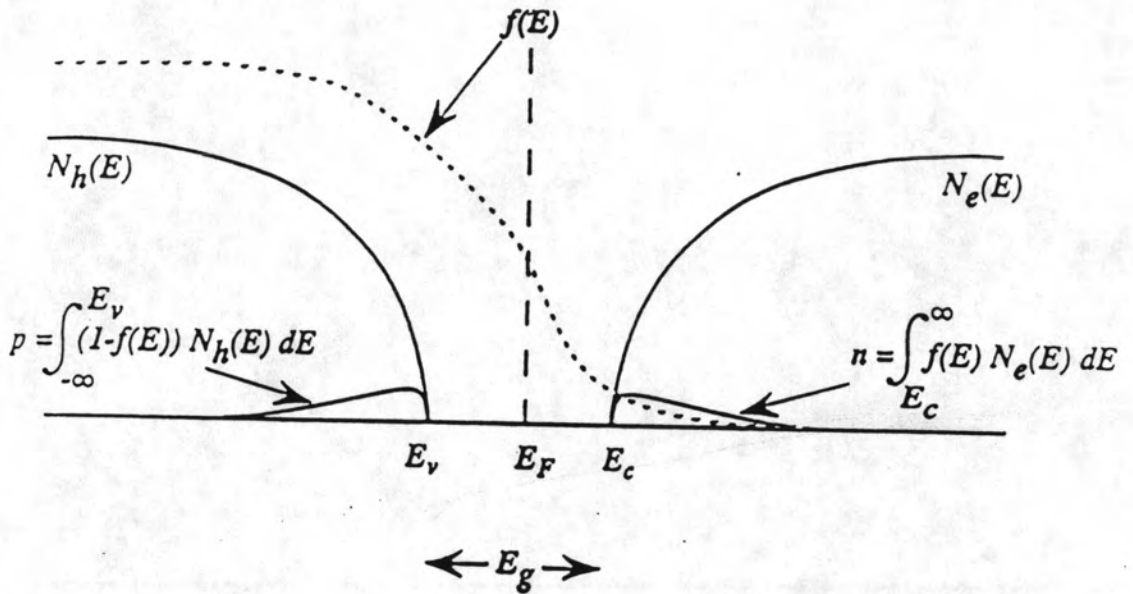
$$p(E)dE = N_h(E)f_h(E)dE \quad (4.2)$$

$N_e(E)$  คือ สถานะความหนาแน่นของอิเล็กตรอนในหนึ่งหน่วยปริมาตร

$N_h(E)$  คือ สถานะความหนาแน่นของโฮลในหนึ่งหน่วยปริมาตร

$f_e(E)$  คือ ฟังก์ชันเฟอร์มิ-ดิแรกสำหรับอิเล็กตรอน

$f_h(E)$  คือ ฟังก์ชันเฟอร์มิ-ดิแรกสำหรับโฮล



รูปที่ 4.1 แสดงความหนาแน่นสถานะของแถบการนำและแถบวาเลนซ์

สารกึ่งตัวนำบริสุทธิ์ [ 16,17 ]

การนำไฟฟ้าของสารกึ่งตัวนำแบบบริสุทธิ์จะสัมพันธ์กับช่องว่างแถบพลังงาน และ อุณหภูมิ กล่าวคือ การนำไฟฟ้าจะเกิดขึ้นเมื่อสารกึ่งตัวนำมีอุณหภูมิสูงเพียงพอที่จะทำให้อิเล็กตรอนในแถบวาเลนซ์มีพลังงานมากกว่าแถบว่างพลังงาน แล้วเปลี่ยนสถานะขึ้นไปอยู่ในแถบการ

นำไฟฟ้า ในแถบวาเลนซ์เมื่ออิเล็กตรอนเคลื่อนที่ออกไปแล้ว ก็จะเกิดโฮลขึ้นแทนที่ซึ่งจำนวนของโฮลและอิเล็กตรอนจะมีจำนวนเท่ากัน การกระจายของอิเล็กตรอนในแถบการนำไฟฟ้าและโฮลในแถบวาเลนซ์จะเป็นดังรูปที่ 4.1  $E_c$  คือสถานะพลังงานต่ำสุดของแถบการนำ  $E_v$  คือสถานะพลังงานสูงสุดของแถบวาเลนซ์  $E_F$  คือ พลังงานเฟอร์มิ  $E_g$  คือ ช่องว่างแถบพลังงาน ดังนั้นสมการของสถานะความหนาแน่น คือ

$$\text{ในแถบการนำ} \quad N_e(E)dE = \frac{\sqrt{2} (m_e^*)^{\frac{3}{2}}}{\pi^2 \hbar^3} \sqrt{(E - E_c)} dE \quad (4.3)$$

$$\text{ในแถบวาเลนซ์} \quad N_h(E)dE = \frac{\sqrt{2} (m_h^*)^{\frac{3}{2}}}{\pi^2 \hbar^3} \sqrt{(E_v - E)} dE \quad (4.4)$$

$m_e^*$  คือมวลยังผลของอิเล็กตรอนในแถบการนำ

$m_h^*$  คือมวลยังผลของโฮลในแถบวาเลนซ์

ส่วนการกระจายของอิเล็กตรอนและโฮลในแถบการนำไฟฟ้าและแถบวาเลนซ์ จะเป็นไปตามฟังก์ชันการกระจายของเฟอร์มิ-ดิแรก เมื่อพิจารณาตามรูปที่ 4.1 จะได้ว่า

ในกรณีที่  $E - E_F \gg K_B T$  ฟังก์ชันเฟอร์มิ-ดิแรกประมาณได้เป็นฟังก์ชันโบลทซ์มานน์ ( Boltzmann approximation ) ดังนี้

$$f_e(E) = \frac{1}{1 + \exp\left(\frac{E - E_F}{K_B T}\right)} \cong \exp\left[-\frac{(E - E_F)}{K_B T}\right] \quad (4.5)$$

กรณีโฮลในแถบวาเลนซ์  $E_F - E \gg K_B T$  ดังนั้นฟังก์ชันการแจกแจงของโฮลจะหาได้ดังนี้

$$\begin{aligned} f_h &= 1 - f_e(E) = 1 - \frac{1}{\exp\left(\frac{E - E_F}{K_B T}\right) + 1} \\ &= \frac{1}{\exp\left[\frac{(E_F - E)}{K_B T}\right] + 1} \end{aligned}$$

$$\equiv \exp \left[ -\frac{(E_F - E)}{K_B T} \right] \quad (4.6)$$

$K_B$  คือ ค่าคงที่ของโบลท์มานน์

$T$  คือ อุณหภูมิสัมบูรณ์

แทนสมการ (4.3) และ (4.5) ลงในสมการที่ (4.1) จะได้ความหนาแน่นของอิเล็กตรอนดังนี้

$$\begin{aligned} n &= \int_{E_c}^{\infty} N_e(E) f(E) dE \\ &= \frac{1}{2\pi^2} \left( \frac{2m_e^*}{\hbar^2} \right)^{\frac{3}{2}} \exp\left(\frac{E_F}{K_B T}\right) \int_{E_c}^{\infty} (E - E_c)^{\frac{1}{2}} \exp\left(-\frac{E}{K_B T}\right) dE \\ &= 2 \left( \frac{m_e^* K_B T}{2\pi\hbar^2} \right)^{\frac{3}{2}} \exp[(E_F - E_c)/K_B T] \end{aligned}$$

$$n \equiv N_c \exp[(E_F - E_c)/K_B T] \quad (4.7)$$

โดยที่

$$N_c = 2 \left( \frac{m_e^* K_B T}{2\pi\hbar^2} \right)^{\frac{3}{2}}$$

$N_c$  คือ สถานะความหนาแน่นยังผลของอิเล็กตรอนในแถบการนำ

และความหนาแน่นของโฮลในแถบวาเลนซ์มีค่าเป็น

$$\begin{aligned} p &= \int_{-\infty}^{E_v} N_h(E) (1 - f(E)) dE \\ &= N_v \exp[(E_v - E_F)/K_B T] \end{aligned} \quad (4.8)$$

$$N_v = 2 \left( \frac{m_h^* K_B T}{2\pi\hbar^2} \right)^{3/2}$$

$N_v$  คือ สถานะความหนาแน่นยังผลของโฮลในแถบวาเลนซ์

สำหรับสารกึ่งตัวนำบริสุทธิ์จำนวนอิเล็กตรอนในแถบการนำจะเท่ากับจำนวนโฮลในแถบวาเลนซ์  
ถ้าเราคูณสมการที่ (4.7) และสมการที่ (4.8) เข้าด้วยกันนั้นคือ

$$np = 4 \left( \frac{K_B T}{2\pi\hbar^2} \right)^3 (m_e^* m_h^*)^{3/2} \exp(-E_g/K_B T) \quad (4.9)$$

$E_g = E_c - E_v$  คือ ขนาดของช่องว่างแถบพลังงาน

และเมื่อแทน  $n = n_i = p = p_i$  ลงในสมการที่ (4.9) จะได้ความหนาแน่นพาหะของสารกึ่งตัวนำบริสุทธิ์ดังนี้

$$n_i = p_i = 2 \left( \frac{K_B T}{2\pi\hbar^2} \right)^{3/2} (m_e^* m_h^*)^{3/4} \exp[-E_g/2K_B T] \quad (4.10)$$

ดังนั้นจากสมการที่ (4.7) และ (4.8) เมื่อใช้เงื่อนไข  $n = p$  จะสามารถหาพลังงานเฟอร์มิ (Fermi energy) ได้ดังสมการ

$$\exp(2E_{F_i}/K_B T) = (m_h^* m_e^*)^{3/2} \exp[-E_g/2K_B T]$$

$$E_F = E_i = \frac{E_g}{2} + \frac{3}{4} K_B T \ln(m_h^*/m_e^*)$$

$$= \frac{E_g}{2} + \frac{3K_B T}{4} \ln \left( \frac{m_h^*}{m_e^*} \right) \quad (4.11)$$

สมการที่ (4.11) บอกให้รู้วาระดับพลังงานเฟอร์มิของสารกึ่งตัวนำบริสุทธิ์อยู่ใกล้กึ่งกลางแถบว่างพลังงาน

### สารกึ่งตัวนำแบบไม่บริสุทธิ์ [ 15,16 ]

เมื่อสารกึ่งตัวนำถูกเติมด้วยสารเจือปนที่มีวาเลนซ์อิเล็กตรอนสูงกว่าอะตอมเดิมเรียกสารเจือปนนี้ว่าผู้ให้ ( donor ) และที่มีวาเลนซ์อิเล็กตรอนน้อยกว่าอะตอมเดิมเรียกสารเจือปนนี้ว่าผู้รับ ( acceptor ) จะทำให้ในบริเวณแถบช่องว่างพลังงานของสารกึ่งตัวนำมีสถานะพลังงานของสารเจือเพิ่มขึ้นมาคือสถานะพลังงานผู้ให้ และสถานะพลังงานผู้รับ สถานะพลังงานผู้ให้จะเป็นกลางเมื่อมีอิเล็กตรอนบรรจุอยู่ และเป็นบวกถ้าขาดอิเล็กตรอน ส่วนสถานะพลังงานผู้รับจะเป็นกลางถ้าไม่มีอิเล็กตรอน และถ้ามีอิเล็กตรอนบรรจุอยู่จะเป็นลบ การที่มีสถานะพลังงานของสารเจือนี้จะทำให้สารกึ่งตัวนำแบ่งเป็นชนิดเอ็น และชนิดพี ดังที่แสดงในรูปที่ 4.2 สารกึ่งตัวนำชนิดเอ็นจะมีจำนวนอิเล็กตรอนในสถานะผู้ให้มากกว่าจำนวนอิเล็กตรอนในสถานะผู้รับ ส่วนสารกึ่งตัวนำชนิดพีจะมีจำนวนอิเล็กตรอนในสถานะผู้รับมากกว่าในสถานะผู้ให้ ถ้าพิจารณาสารกึ่งตัวนำชนิดเอ็น สถานะพลังงานผู้ให้และสถานะพลังงานผู้รับจะรับจำนวนอิเล็กตรอนหรือโฮลได้เพียง 1 ตัว ดังนั้นการแจกแจงอิเล็กตรอนในสถานะผู้ให้จะมีค่าเป็นไปตามฟังก์ชันการกระจายของเฟอร์มิ-ดิแรกดังนี้

$$f(E_D) = \frac{1}{1 + \frac{1}{2} \exp\left(\frac{E_D - E_F}{K_B T}\right)} \quad (4.12)$$

และความหนาแน่นของอิเล็กตรอนในสถานะผู้ให้

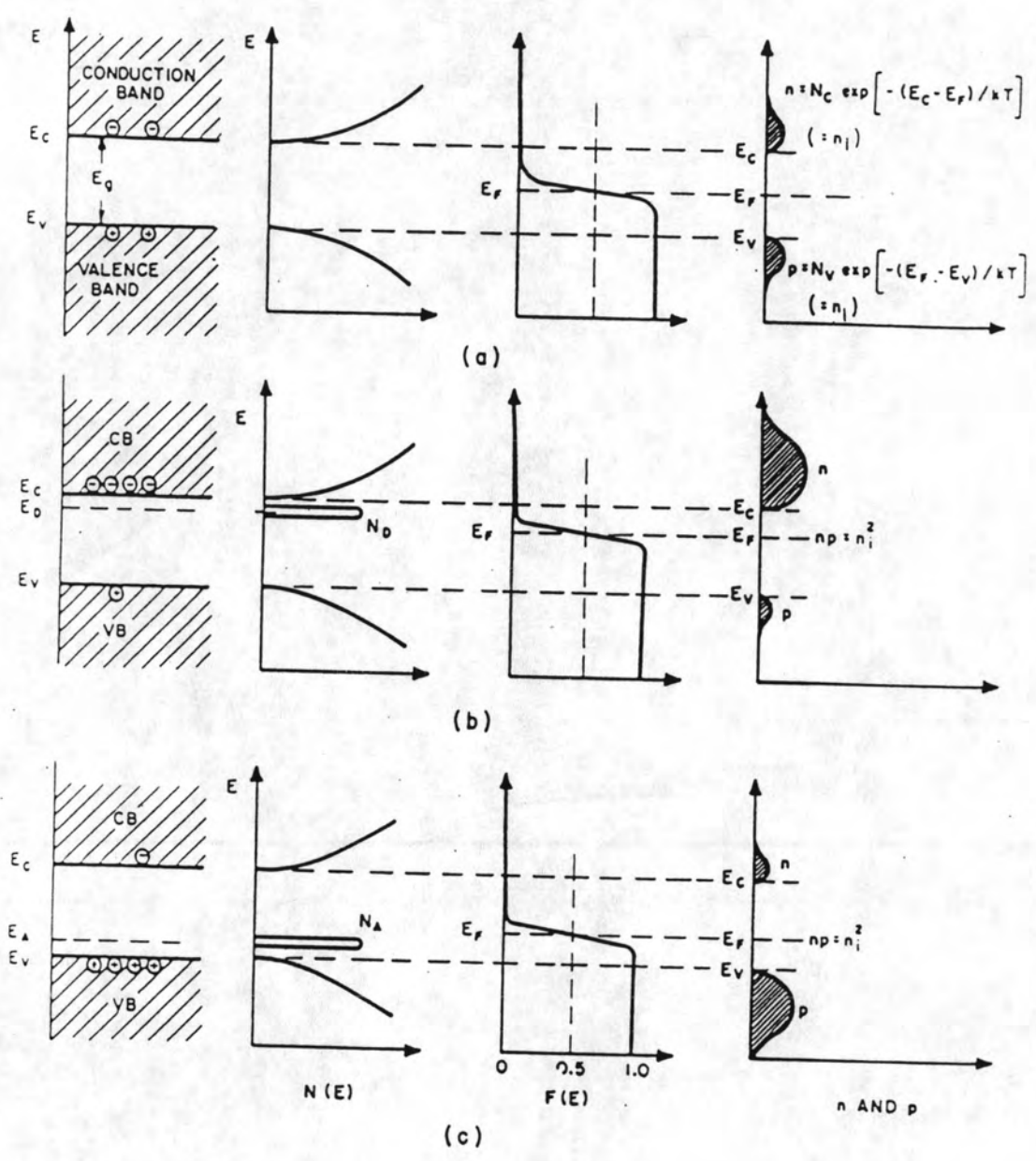
$$\begin{aligned} n_D &= N_D f(E) \\ &= N_D \left[ 1 + \frac{1}{2} \exp\left(\frac{E_D - E_F}{K_B T}\right) \right] \end{aligned} \quad (4.13)$$

$N_D$  คือ ความหนาแน่นของผู้ให้

$E_D$  คือ ระดับสถานะพลังงานผู้ให้

$E_F$  คือ ระดับสถานะพลังงานเฟอร์มิ

ส่วนในระดับผู้รับจะรับอิเล็กตรอนที่ตกลงมาจากผู้ให้และอิเล็กตรอนที่กระโดดขึ้นมาจากแถบวาเลนซ์ ดังนั้นการแจกแจงอิเล็กตรอนในระดับผู้รับจะมีค่าเป็น



[16] รูปที่ 4.2 แสดงไดอะแกรมแถบพลังงาน ความหนาแน่นของสถานะ การกระจายของฟังก์ชันเฟอร์มี-ไดแรก และความหนาแน่นพาหะอิสระ

- ก) สารกึ่งตัวนำบริสุทธิ์
- ข) สารกึ่งตัวนำชนิดเอ็น
- ค) สารกึ่งตัวนำชนิดพี

$$f(E_A) = \frac{1}{\left(1 + 2 \exp\left(\frac{E_A - E_F}{K_B T}\right)\right)} \quad (4.14)$$

จะได้ความหนาแน่นของอิเล็กตรอนในสถานะผู้รับ

$$n_A = \frac{N_A}{\left(1 + 2 \exp\left(\frac{E_A - E_F}{K_B T}\right)\right)} \quad (4.15)$$

$N_A$  คือ ความหนาแน่นผู้รับ

$E_A$  คือ ระดับสถานะพลังงานผู้รับ

การนำไฟฟ้าของสารกึ่งตัวนำไม่บริสุทธิ์ พิจารณาได้จากเงื่อนไขความเป็นกลางของประจุตั้งสมการ

$$n + N_A^- = p + N_D^+$$

$$n + (N_A - n_A) = p + (N_D - n_D) \quad (4.16)$$

$N_D^+$  คือจำนวนของผู้ให้ที่เกิดไอออนเป็นประจุบวก

$n_D$  คือจำนวนของผู้ให้ที่ไม่ได้ถูกไอออน

$N_A^-$  คือจำนวนของผู้รับที่เกิดไอออนเป็นประจุลบ

$n_A$  คือจำนวนของผู้รับที่ไม่ได้ถูกไอออน

แยกพิจารณาเป็นกรณีดังนี้

1. กรณีที่อุณหภูมิต่ำ  $(E_c - E_D)/K_B T \gg 1$  ระดับเฟอร์มิเข้าใกล้สถานะผู้ให้ โสลจะถูกไอออน อิเล็กตรอนในสถานะผู้รับบางส่วนกระโดดขึ้นไปในสถานะผู้ให้ ทำให้อิเล็กตรอนในสถานะผู้รับน้อยลง ดังนั้นในสมการที่ (4.16)  $n_A, p$  ตัดทิ้งได้และเขียนได้ใหม่เป็น

$$n = N_D - N_A - n_D$$

แทนค่า  $n_D$  จากสมการที่ (4.13) ลงไปจะได้



$$n = N_D - N_A - \frac{N_D}{1 + \frac{1}{2} \exp\left(\frac{E_D - E_F}{K_B T}\right)} \quad (4.17)$$

ให้  $N'_c = \frac{1}{2} N_c \exp\left(\frac{E_D - E_c}{K_B T}\right)$  ดังนั้นสมการที่ (4.17) สามารถเขียนได้ใหม่เป็น

$$n^2 + n(N_A + N'_c) - N'_c(N_D - N_A) = 0 \quad (4.18)$$

คำตอบสมการที่ (4.18) คือ

$$n = -\frac{1}{2}(N_A + N'_c) + \frac{1}{2}\{(N_A + N'_c)^2 + 4N'_c(N_D - N_A)\}^{\frac{1}{2}} \quad (4.19)$$

ที่อุณหภูมิต่ำค่า  $N'_c$  จะมีค่าน้อย และ  $N_A \gg N'_c$  ดังนั้นสมการที่ (4.19) จะประมาณได้เป็น

$$n = \frac{N'_c(N_D - N_A)}{N_A} = \left(\frac{N_D - N_A}{2N_A}\right) N_c \exp\left(-\frac{(E_c - E_D)}{K_B T}\right) \quad (4.20)$$

เมื่อ  $N_A$  มีค่าน้อยๆจนกระทั่ง  $N_A \ll N'_c \ll N_D$  จากสมการที่ (4.20) จะประมาณได้ว่า

$$n = (N'_c N_D)^{\frac{1}{2}} = \frac{1}{\sqrt{2}} (N_D N_c)^{\frac{1}{2}} \exp\left(-\frac{(E_c - E_D)}{2K_B T}\right) \quad (4.21)$$

$n$  คือ ความหนาแน่นของอิเล็กตรอนในแถบการนำ

จากรูปที่ 4.3 จะใช้สมการที่ (4.20) และ (4.21) อธิบายได้ว่า curve ที่อุณหภูมิต่ำสารเจือปนส่วนมากจะถูก frozen out นั่นคือสถานะพลังงานผู้ให้จะมีคุณสมบัติเปรียบเสมือนกับเป็นแถบวาเลนซ์ที่อยู่ในสารกึ่งตัวนำบริสุทธิ์ และสถานะพลังงานเฟอร์มิจะอยู่กึ่งกลางระหว่างขอบล่างของแถบการนำและสถานะผู้ให้

จากสมการที่ (4.20) เราสามารถหาสถานะพลังงานเฟอร์มิได้โดยการแทนค่า  $n$  ลงไปจะได้

$$E_F = -(E_c - E_D) + K_B T \ln \frac{(N_D - N_A)}{2N_A} \quad (4.22)$$

นั่นคือถ้ามีสารเจือปนผู้รับสถานะพลังงานเฟอร์มิจะอยู่เหนือระดับพลังงาน  $-(E_c - E_D)$  และจากสมการที่ (4.21) ในกรณีที่  $N_A = 0$  สารกึ่งตัวนำจะมีแต่เฉพาะสารเจือปนผู้ให้ ดังนั้นสถานะพลังงานเฟอร์มิจะอยู่ที่ประมาณครึ่งหนึ่งของสถานะผู้ให้และแถบการนำดังสมการ

$$E_F = -\frac{1}{2}(E_c - E_D) + \frac{1}{2}K_B T \ln\left(\frac{N_D}{N_c}\right) \quad (4.23)$$

2. กรณีที่อุณหภูมิกลางๆ  $(E_c - E_D) \ll K_B T \ll E_g$  ดังนั้น  $\exp\left(\frac{E_c - E_D}{K_B T}\right) \approx 1$  ในกรณีนี้สารเจือปนในสถานะผู้ให้จะถูกไอออไนซ์ ดังนั้นพาหะส่วนใหญ่จะได้มาจากสถานะผู้ให้ที่ถูกไอออไนซ์

$$n \cong N_D \exp[(E_D - E_c)/K_B T] \cong N_D \quad (4.24)$$

และ เมื่อแทนสมการที่ (4.7) ในสมการที่ (4.24) จะได้

$$E_F = E_D + K_B T \ln(N_D/N_c) \quad (4.25)$$

จากสมการที่ (4.24) และสมการที่ (4.25) แสดงว่าสถานะพลังงานเฟอร์มิเคลื่อนลงเข้าใกล้กับสถานะผู้ให้ และความหนาแน่นของอิเล็กตรอนจะมีค่าคงที่ไม่ขึ้นกับอุณหภูมิเราเรียกอุณหภูมิย่านนี้ว่า saturation region หรือ exhaustion region ดังรูปที่ 4.3

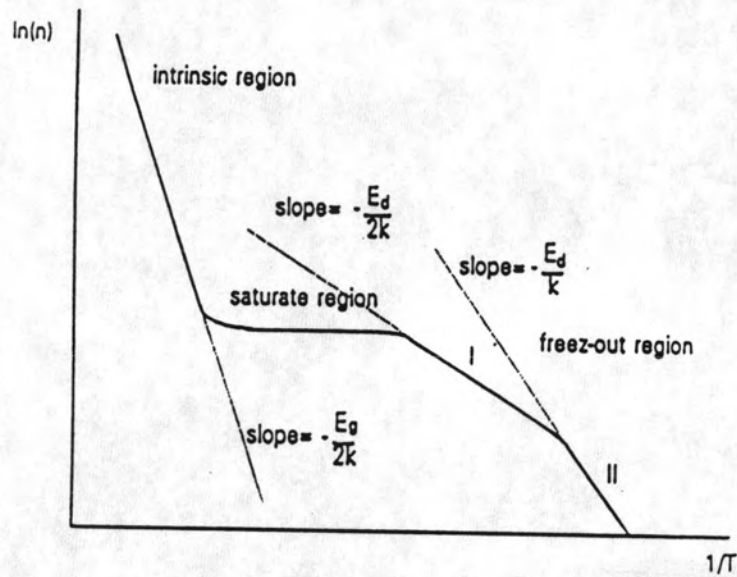
3. กรณีที่อุณหภูมิสูงมากๆ สารกึ่งตัวนำไม่บริสุทธิ์จะมีคุณสมบัติคล้ายสารกึ่งตัวนำบริสุทธิ์ เนื่องจากความร้อนจะกระตุ้นให้อิเล็กตรอนที่อยู่ในแถบวาเลนซ์สามารถกระโดดขึ้นไปอยู่ในแถบชั้นการนำไฟฟ้าได้มาก จากเงื่อนไขความเป็นกลางของประจุ

$$n + N_A^- = p + N_D^+$$

ดังนั้น

$$n = p \quad (4.26)$$

และความหนาแน่นของอิเล็กตรอน พลังงานเฟอร์มิจะเหมือนกันกับสมการที่ (4.10) และสมการที่ (4.11) เราเรียกอุณหภูมิย่านนี้ว่า intrinsic region ดังรูปที่ 4.3



รูปที่ 4.3 แสดงความสัมพันธ์ระหว่างความหนาแน่นของ  
อิเล็กตรอนกับส่วนกลับของอุณหภูมิ

สภาพต้านทานไฟฟ้า [ 18,19 ]

ถ้าบ่อนสนามไฟฟ้าเข้าไปในวัสดุยาว  $l$  มีพื้นที่ภาคตัดขวาง  $A$  จะเกิดความต่างศักย์ไฟฟ้าซึ่งสัมพันธ์กับสนามไฟฟ้างสมการ

$$V = El \quad (4.27)$$

และมีการไหลของกระแสไฟฟ้าเกิดขึ้นโดย

$$I = nqv_d A \quad (4.28)$$

ความหนาแน่นของกระแสไฟฟ้าหาได้จาก

$$J = \frac{I}{A} = nqv_d = nq\mu E \quad (4.29)$$

$n$  คือ ความหนาแน่นของพาหะ

$q$  คือ ขนาดประจุไฟฟ้า

$v_d$  คือ อัตราเร็วของพาหะ

$\mu$  คือ สภาพคล่องตัว

$E$  คือ ค่าสนามไฟฟ้า

โดยที่  $v_d = \mu E$  และจากกฎของโอห์ม  $I = \frac{V}{R}$  และ  $J = \sigma E$  เทียบกับสมการ (4.28) และ (4.29) จะได้

$$\sigma = \frac{l}{RA} \quad (4.30)$$

และ

$$\sigma = nq\mu \quad (4.31)$$

สำหรับในสารกึ่งตัวนำการนำไฟฟ้าจะเกิดจากพาหะคืออิเล็กตรอนและโฮล ดังนั้นสภาพนำไฟฟ้าเขียนได้เป็น

$$\sigma = q(n\mu_n + p\mu_p) \quad (4.32)$$

และจากความสัมพันธ์ระหว่างสภาพนำไฟฟ้ากับสภาพต้านทานไฟฟ้า  $\sigma = \frac{1}{\rho}$  ดังนั้นสภาพต้านทานไฟฟ้ามีค่าเป็น

$$\rho = \frac{1}{\sigma} = \frac{1}{q(\mu_n n + \mu_p p)} \quad (4.33)$$

หรือเทียบกับสมการที่ (4.30) จะได้

$$R = \frac{\rho l}{A} \quad (4.34)$$

ถ้า  $n \gg p$  จะเป็นสารกึ่งตัวนำชนิดเอ็นดังนั้นสภาพต้านทานไฟฟ้าจะมีค่าเป็น

$$\rho = \frac{1}{q\mu nh} \quad (4.35)$$

### การวัดสภาพต้านทานไฟฟ้า [ 18,20 ]

การวัดสภาพต้านทานไฟฟ้าของฟิล์มบางมีหลายวิธีด้วยกัน เช่นวิธี Van der Pauw วิธี Two point probe เป็นต้น แต่ส่วนใหญ่จะใช้โพรบวัดบนผิวหน้าของฟิล์ม และวิธีที่ใช้กันมากก็คือ การใช้แบบ 4 ขั้ว ( Four point probe ) และรูปแบบของรอยต่อ ( contact ) ที่เหมาะสมสำหรับการวัดโดยวิธีนี้ ก็มีหลายรูปแบบด้วยกัน ดังที่แสดงวิธีการวัดตามรูปที่ 4.4

รูปที่ 4.4a Four terminal method เป็นวิธีที่ใช้การวัดแบบ 4 ขั้ว มีหลักการวัดคือ 2 ขั้วนอกจ่ายกระแสไฟฟ้า 2 ขั้วในวัดความต่างศักย์ไฟฟ้า วิธีนี้จะไม่มีปัญหาเรื่องความต้านทานของรอยต่อและความต้านทานจะคำนวณได้จากกฎของโอห์ม และถ้ารู้ขนาดของฟิล์มก็จะคำนวณหาสภาพต้านทานไฟฟ้าได้ ส่วนใหญ่แล้วมักจะรายงานค่าสภาพต้านทานไฟฟ้าอยู่ในเทอมของความต้านทานแผ่น ( sheet resistance ) ซึ่งมีหน่วยเป็น  $\Omega/\square$

เมื่อพิจารณาฟิล์มยาว  $l$  กว้าง  $w$  และหนา  $d$  ตามรูปที่ 4.5 จากกฎของโอห์มและใช้สมการ ( 4.34 ) จะคำนวณหาความต้านทานฟิล์มได้ดังนี้

$$\begin{aligned} R &= \frac{V}{I} = \frac{\rho l}{A} \\ &= \frac{\rho l}{wd} \quad \Omega \end{aligned} \quad (4.36)$$

ในกรณีที่ฟิล์มเป็นรูปสี่เหลี่ยม ( $l=w$ ) ดังนั้นสมการที่ ( 4.36 ) เขียนได้ใหม่เป็น

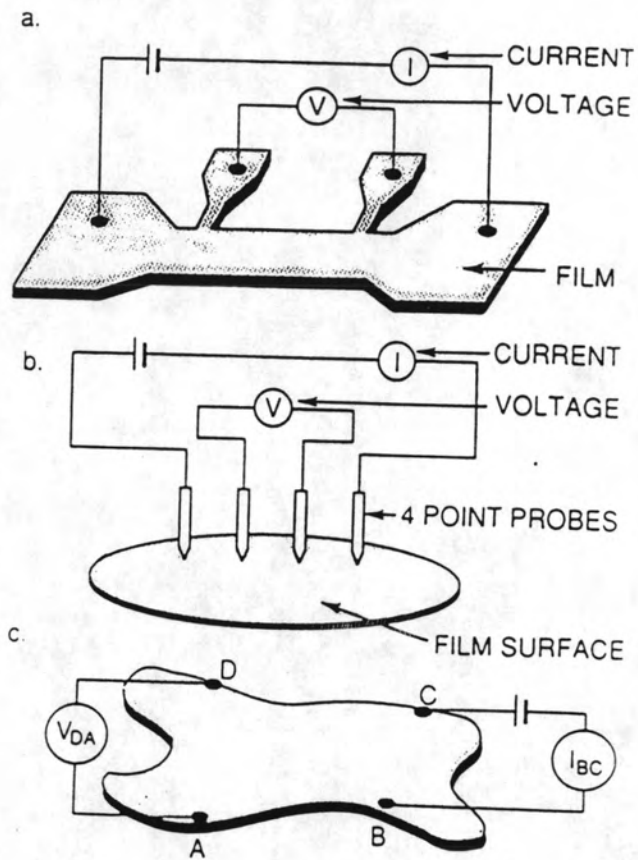
$$R = R_s = \frac{\rho}{d} \quad \Omega/\square \quad (4.37)$$

$R_s$  คือ ความต้านทานแผ่น (sheet resistance)

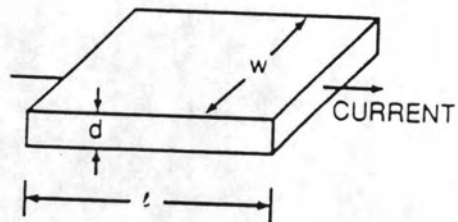
$\rho$  คือ สภาพต้านทานไฟฟ้า

โดยที่ความต้านทานแผ่นไม่ขึ้นกับขนาดของฟิล์ม

รูปที่ 4.4b Four-point probe เป็นวิธีที่ใช้สำหรับการวัดสภาพต้านทานไฟฟ้าของฟิล์มแบบ 4 ขั้ว โดยวัดบนผิวหน้าของฟิล์มที่มีรูปแบบใดๆก็ได้ แต่ตำแหน่งของขั้วทั้งสี่จะต้อง



รูปที่ 4.4 แสดงวิธีการวัดความต้านทานแผ่นของฟิล์มบาง [18]



รูปที่ 4.5 แสดงขนาดของฟิล์มยาว  $l$  กว้าง  $w$  หนา  $d$

วางเรียงอยู่ในแนวเดียวกัน โดย 2 ขั้วนอกวัดกระแสไฟฟ้า และ 2 ขั้วในวัดความต่างศักย์ไฟฟ้า เมื่อพิจารณาจากการวัดตามรูปที่ 4.4b เราจะหาสภาพต้านทานไฟฟ้าได้จากสมการดังนี้

$$\rho = \frac{2\pi\left(\frac{V}{I}\right)}{\left[\frac{1}{s_1} + \frac{1}{s_3} \quad \frac{1}{(s_1+s_2)} \quad \frac{1}{(s_2+s_3)}\right]} \quad (4.38)$$

โดยที่  $s$  คือช่องว่างระหว่างขั้ว ในกรณีที่  $s_1 = s_2 = s_3$  สมการที่ (4.38) จะเขียนได้ใหม่เป็น

$$\rho = \frac{2\pi s V}{I} \quad (4.39)$$

และ ความต้านทานแผ่นหาได้จากสมการ

$$R_s = F^* \left(\frac{V}{I}\right) \quad (4.40)$$

โดยที่  $F^*$  คือ correction factors ซึ่งจะสัมพันธ์กับการวัดกระแสไฟฟ้าและความต่างศักย์ไฟฟ้า ดังแสดงในตารางที่ 4.1

	1 ↓	2 ↓	3 ↓	4 ↓
Current probes	Voltage probes		Correction factor $F^*$ for thin layer	
1-4	2-3		$(\pi/\ln 2) \approx 4.532$	
1-2	3-4		$2\pi/(\ln 4 - \ln 3) \approx 21.84$	
1-3	2-4		$2\pi/(\ln 3 - \ln 2) \approx 15.50$	
2-4	1-3		$2\pi/(\ln 3 - \ln 2) \approx 15.50$	
3-4	1-2		$2\pi/(\ln 4 - \ln 3) \approx 21.84$	
2-3	1-4		$(\pi/\ln 2) \approx 4.532$	

ตารางที่ 4.1 แสดงค่า correction factor สำหรับการวัดฟิล์ม

รูปที่ 4.4c Van der Pauw method เป็นวิธีการวัดสภาพต้านทานไฟฟ้าที่สมบูรณ์ที่สุด และใช้กันอย่างแพร่หลาย โดยการใช้อั้วไฟฟ้า 4 ขั้ว ซึ่ง 2 ขั้ววัดกระแสไฟฟ้า อีก 2 ขั้ววัดความต่างศักย์ไฟฟ้า การวัดจะวัดที่ตำแหน่งใดๆของตำแหน่ง A,B,C,D ก็ได้ และค่าสภาพต้านทานไฟฟ้าจะหาได้จากสมการดังนี้

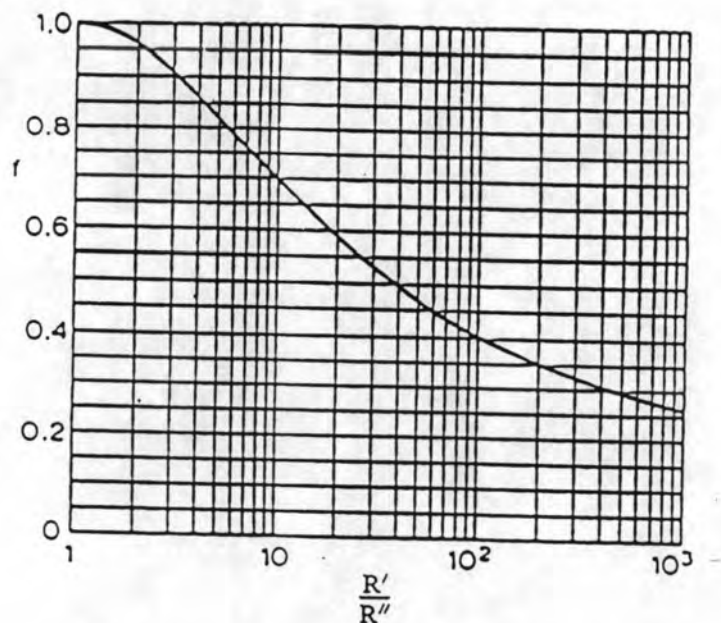
$$R_s = \frac{\pi}{2 \ln 2} (R' + R'') f\left(\frac{R'}{R''}\right) \quad (4.41)$$

โดยที่  $f\left(\frac{R'}{R''}\right)$  คือ Vander Pauw's function ซึ่งจะมีความสัมพันธ์ดังแสดงในรูปที่ 4.6

$R'$  คือความต่างศักย์ไฟฟ้าระหว่างรอยต่อ A และ D ต่อหน่วยกระแสไฟฟ้าที่ไหลผ่านที่ไหลผ่านรอยต่อ C และ B

$R''$  คือความต่างศักย์ไฟฟ้าระหว่างรอยต่อ A และ B ต่อหน่วยกระแสไฟฟ้าที่ไหลผ่านรอยต่อ C และ D

ถ้ารอยต่อวางอยู่ในตำแหน่งลักษณะที่สมมาตรกันแล้ว ดังนั้น  $\frac{R'}{R''} = 1$  และฟังก์ชันของ vander Pauw ก็เป็น 1 ด้วย และที่สำคัญอีกอย่างหนึ่งก็คือการวัดวิธีนี้รอยต่อจะต้องเล็กมาก และความหนาของฟิล์มต้องสม่ำเสมอ



รูปที่ 4.6 แสดงค่า correction factor ของการวัดสภาพต้านทานไฟฟ้าด้วยวิธี van der Pauw